



1/6
M. Eller et al.
12179-P081US

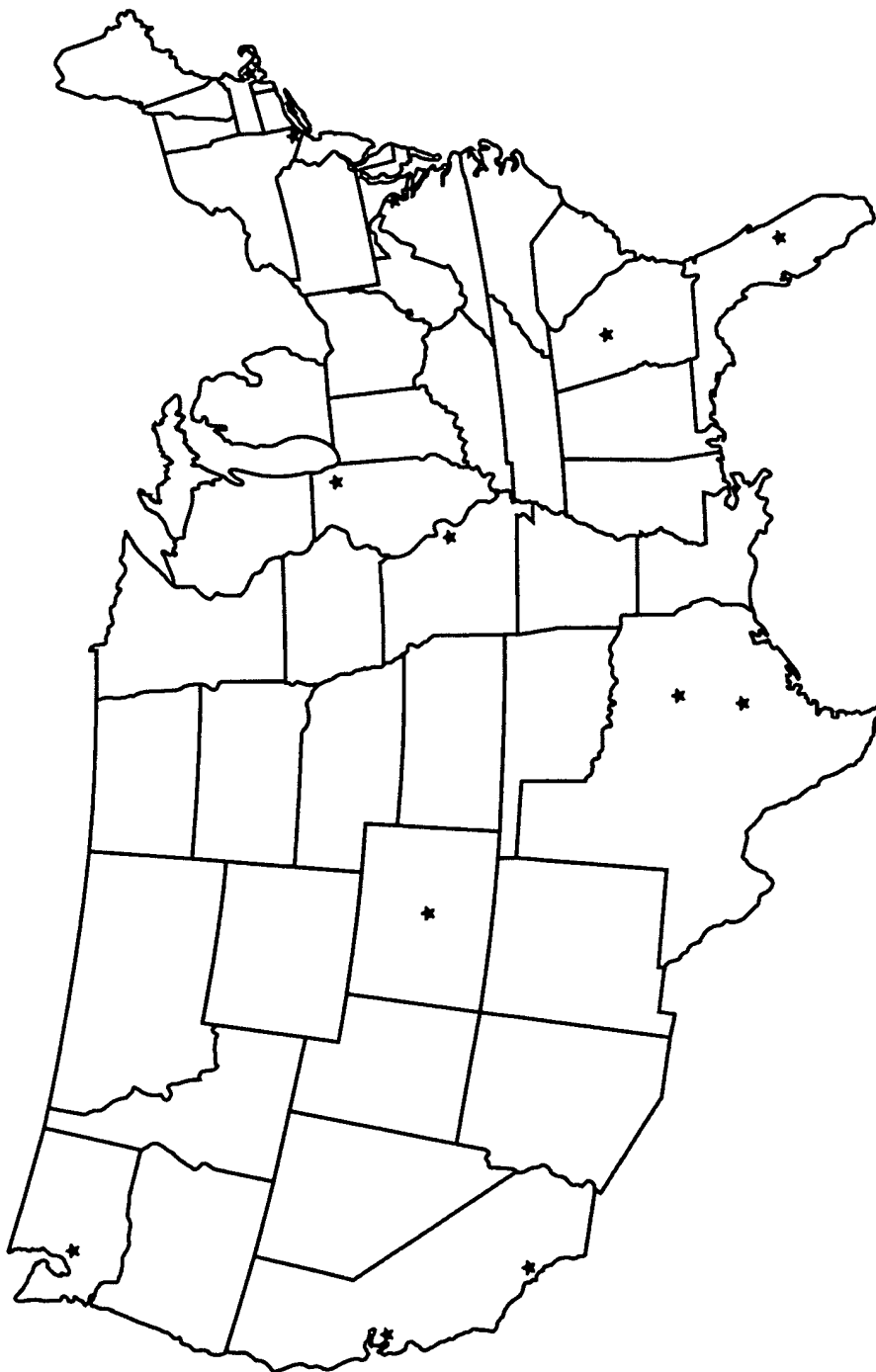


Fig. 1

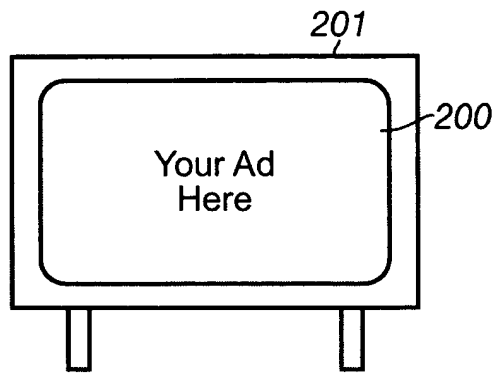


Fig. 2A

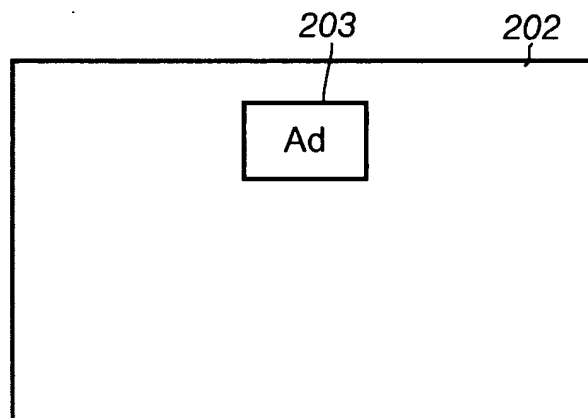


Fig. 2B

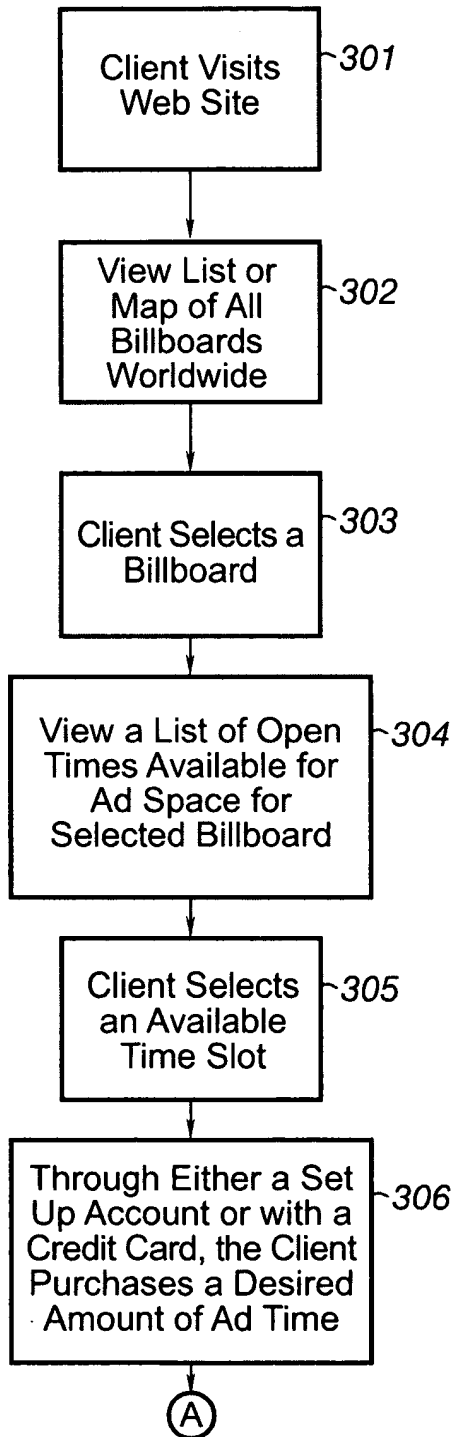


Fig. 3

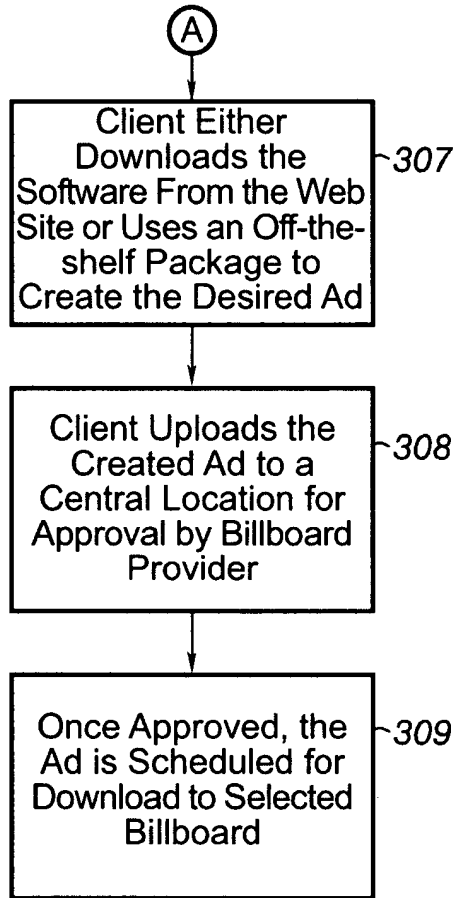


Fig. 3

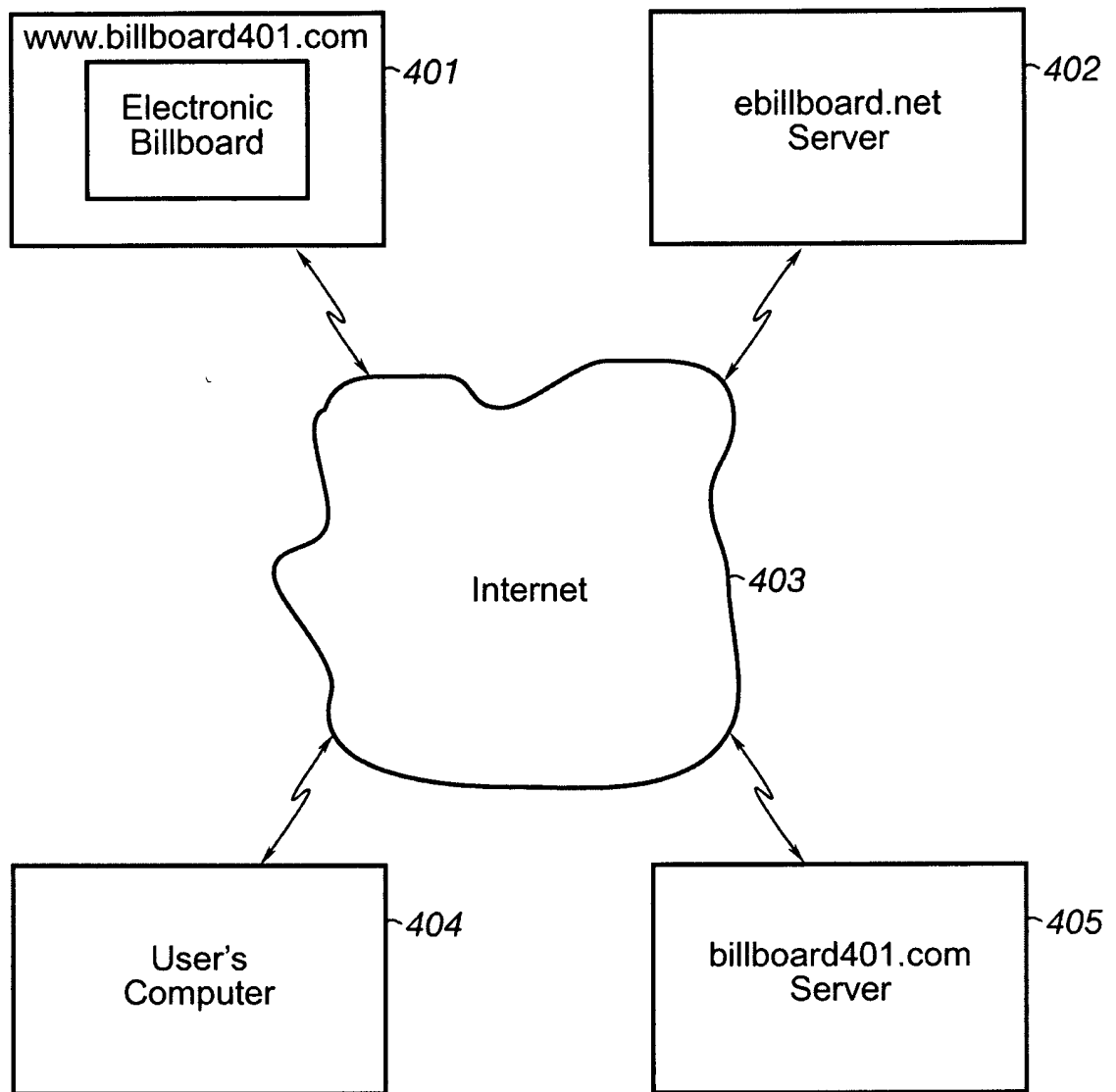


Fig. 4

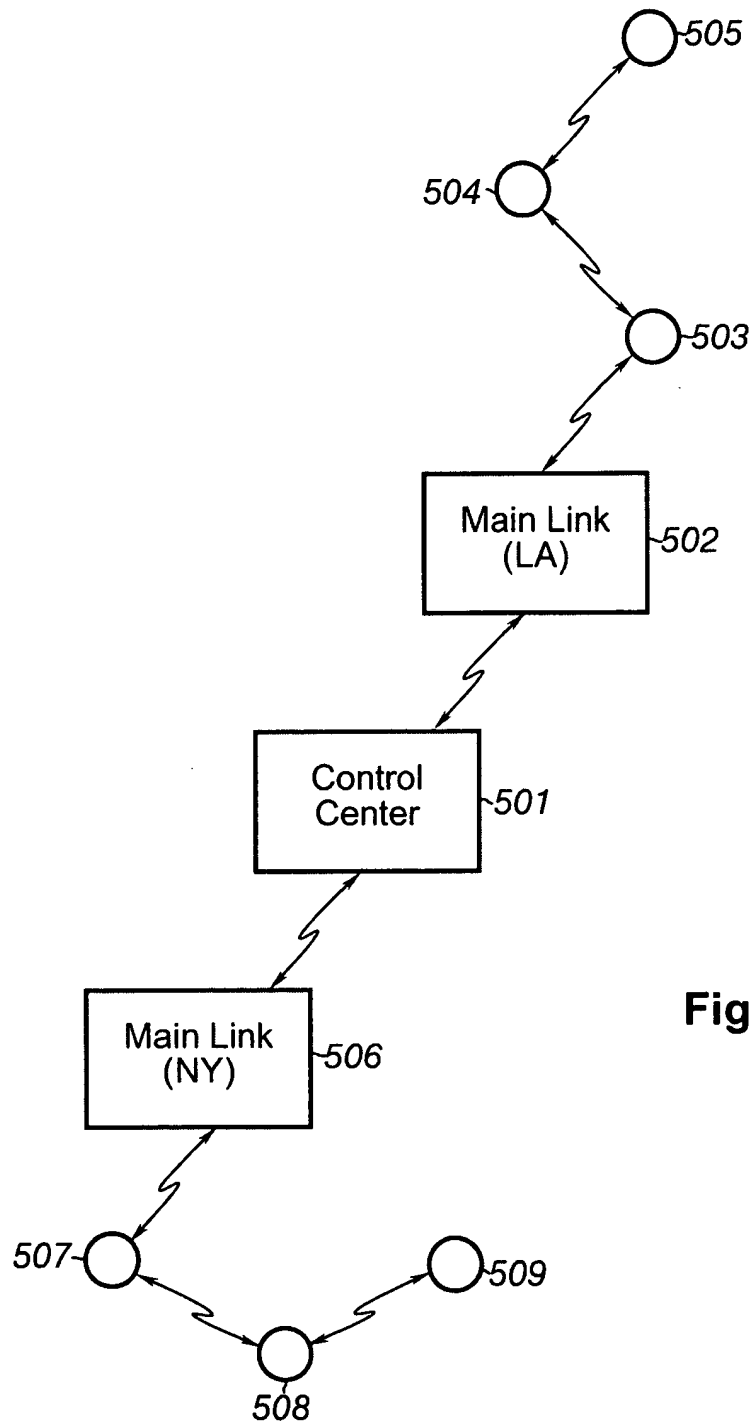


Fig. 5